

下水道整備計画に関するシステム論的研究 I

—とくに河川汚濁制御と面整備について—

株 日本水道コンサルタント 正員 堤 武

" 大門良巳

" 中村正久

1. はじめに

下水道施設は、大きくわけて点処理プラント)、線(幹線パイプ)として面(枝線パイプ)の3つに分類される。これらは、当然、時・空間領域において、各自目的かつ有機的に結合された機能を果すように計画されねばならない。しかし、河川汚濁制御の立場から点・線・面を時・空間領域において統括的に同一測度で計画することは非常に困難である。したがって、筆者らが提案した方法論的下水道計画システムのうち、本研究では、図-1に示すような地域負荷配分サブ・システムをとくに面整備と河川汚濁との関連で考察する。図-1より明らかのように、研究対象は、負荷発生予測ならびに施設規模配置サブ・システムの出力を入力とし、研究対象をある時間断面で切ったとき、この出力は、河川汚濁の状態を与え、さらに点投資、線投資³⁾⁴⁾のための情報を提供するものであることが望ましい。したがって、本研究では、このようなモデルを適応制御プロセスのうち2点、境界値問題と認識する。このように考えることにすれば、地域負荷配分(以下、面的下水道整備レベルとよぶ。)の時間的経過を記述することが可能となる。

面的下水道整備レベルを操作変数 $u(t)$ とし、さらに河川のいくつかの点の水質測度を状態変数 $x(t)$ とすれば、初期状態 $x(0)$ が調査などにより計測可能で、計画目標年次 T の最終状態 $x(T)$ が水質基準によりおささえられるがら、結局、われわれの問題は、2点境界値問題として、以下のよう規定化することができる。すなわち運動形では、

$$dx/dt = f(x, u), \quad x(0) = x^0, \quad x(T) = x^T, \quad g(u) \leq 0 \quad (1.1)$$

$$J = \int_0^T \psi(t) dt \rightarrow \max. (\text{or min.}), \quad 0 \leq t \leq T \quad (1.2)$$

となる。ここに x^0, x^T は定数ベクトルで、(1.1)式は、状態方程式、境界条件、制約条件を表わし、(1.2)式は評価関数である。図-2に示すように状態方程式は相空間における状態の運動を記述するものであり、この運動経路をトrajエクトリとよび、一般に状態のトrajエクトリは黒線にある。このうち、もっとも好ましいものを求める基準が(1.2)式で記述されるのである。以下、(1.2)式の最大化(最小化)に対応する $x(t), u(t), (0 \leq t \leq T)$ を最適トrajエクトリ、最適操作(下水道整備レベル)とよぶ。こうして、「計画目標年次に水質基準を満足するためには、いつ、どうこに、どの程度の下水道整備レベルをはりつけよるか。」という問題の有効な情報を得ることが可能になると期待しうる。

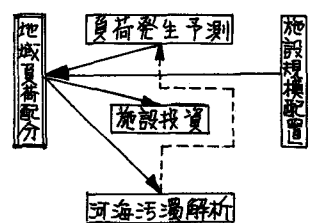
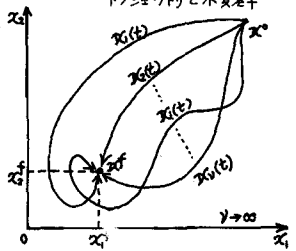


図-2 2次元相空間におけるトrajエクトリと水質基準



2. モデルの定式化⁶⁾

ここではまず、研究対象システムの理想化を行ない、カットなる概念を提示し、しかる後(1.1),(1.2)式で示される状態変数、操作変数の制約条件をして評価関数を明らかにする。

2.1 システム・モデルとカット

われわれのシステム・モデルは図-3に示すカット・システムの直列的、並列的あるいは分岐的な組合せとして把握される。ここで、われわれの考察する水質濃度をBOD[gl/秒]とし、研究対象システムの理想化のためつきの仮定をおく。

- ① 各地区は施設計画上独立な単位で、河川の負荷量の状態で結合される。
- ② 負荷量の河川への流達は、各地区とも一点で行われる。
- ③ 流達率は発生負荷量の実績値と水質調査値の補正係数的役割を有する。
- ④ 面整備に対応する線・点整備は瞬時的に行われる。

以上の仮定のもとに、自然的、人為的カット負荷量をつきの両式のように定義する。すなわち、連続形では、

$$C_i^n(t) = U_i^n(t) \cdot W_i(t) \cdot \left\{ A_i(t) - g_i^* \cdot A_i(T) \cdot \int_0^t U_i^q(t) dt \right\}, \quad i=1,2,\dots,N, \quad 0 \leq t \leq T \quad (2.1)$$

$$C_i^q(t) = W_i(t) \cdot g^* \cdot g_i^* \cdot A_i(T) \cdot \int_0^t U_i^q(t) dt, \quad i=1,2,\dots,N, \quad 0 \leq t \leq T \quad (2.2)$$

同様に離散形では、

$$C_i^n(t) = U_i^n(t) \cdot W_i(t) \cdot \left\{ A_i(t) - g_i^* \cdot A_i(T) \cdot \sum_{k=0}^t U_i^q(k) \right\}, \quad i=1,2,\dots,N, \quad t=0,1,\dots,T \quad (2.1)'$$

$$C_i^q(t) = W_i(t) \cdot g^* \cdot g_i^* \cdot A_i(T) \cdot \sum_{k=0}^t U_i^q(k), \quad i=1,2,\dots,N, \quad t=0,1,\dots,T \quad (2.2)'$$

とする。ここに、 $C_i^n(t)$, $C_i^q(t)$ は第*i*地区的七年次の自然的、人為的カット(負荷量)で、 $U_i^n(t)$, $U_i^q(t)$ は自然的、人為的カット率である。そして、 $W_i(t)$, $A_i(t)$ は負荷強度[gl/m³], 計画整生活水量[mm³/秒]である。

$(1-U_i^n(t))$ は、一般に流達率とよばれるもので、 $U_i^q(t)$ は、七年次の*i*地区の下水道整備レベル、すなわち計画目標年次下の計画発生汚水量 $A_i(T)$ に対する七年次の面整備(下水管への取入れ汚水量)の割合を示すものとする。そして、 g^* , g_i^* は、つきのようなシグナル変数とする。すなわち、七年次の第*i*地区に既設の処理プラントがなければ、 $g_i^*=0$ 、有れば $g_i^*=1$ 、また各流式では $g_i^*=1$ 、分流式では $g_i^*=1$ とする。もちろん、 $g_i^*=0$, $g_i^*=1/g_i^*$ は同時に起りえない。したがって、(2.2), (2.2)'式の人為的カットは、下年次の計画発生汚水量の $\int_0^t U_i^q(k) dt$ ($\sum_{k=0}^t U_i^q(k)$) × 100%を処理プラントに取入れていることを示し、(2.1), (2.1)'式は七年次までの下水道整備レベルで取残された負荷量の河川へ流出しない部分を示している。

ここで、河川への流出を、上記カットと同様に、自然的負荷流出量 $k_i^n(t)$ 、人為的負荷流出量 $k_i^q(t)$ のじとく記述すれば、以下の式を得る。すなわち、

$$\text{連続形;} \quad k_i^n(t) = (1-U_i^n(t)) \cdot W_i(t) \cdot \left\{ A_i(t) - g_i^* \cdot A_i(T) \cdot \int_0^t U_i^q(t) dt \right\}, \quad i=1,2,\dots,N, \quad 0 \leq t \leq T \quad (2.3)$$

$$k_i^q(t) = k_i(t) \cdot g^* \cdot g_i^* \cdot W_i(t) \cdot A_i(T) \cdot \int_0^t U_i^q(t) dt, \quad i=1,2,\dots,N, \quad 0 \leq t \leq T \quad (2.4)$$

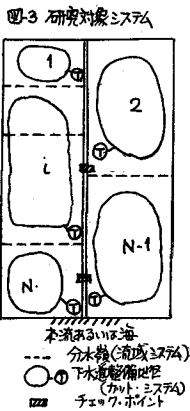
$$\text{離散形;} \quad k_i^n(t) = (1-U_i^n(t)) \cdot W_i(t) \cdot \left\{ A_i(t) - g_i^* \cdot A_i(T) \cdot \sum_{k=0}^t U_i^q(k) \right\}, \quad i=1,2,\dots,N, \quad t=0,1,\dots,T \quad (2.3)'$$

$$k_i^q(t) = k_i(t) \cdot g^* \cdot g_i^* \cdot W_i(t) \cdot A_i(T) \cdot \sum_{k=0}^t U_i^q(k), \quad i=1,2,\dots,N, \quad t=0,1,\dots,T \quad (2.4)'$$

となる。ここに $(1-k_i(t))$ は処理プラントの除去率で、 $0 \leq k_i(t) \leq 1$ とする。

2.2 状態方程式

状態方程式を作成する前に、図-3に示される流出負荷量のないチャック・ポイントも1つの地区と考



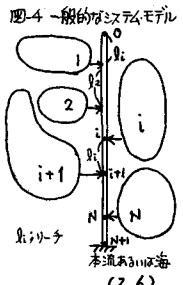
え、この地区の計画性生活水量を考慮しているすべての時間内で恒等的にゼロとおけば、図-4のよう
な、より一般的な下水道整備システムが描れる。ここで、つぎの仮定をおけば、

(5) (i-1)点とi点の間の河川流量は時間的・空間的にはほとんど定常である。
2点間の負荷量の関係がつぎのように記述しうる。すなはち、

$$X_i(t) = g_i(t) + X_{i-1}(t) \cdot \exp(-\lambda_{i-1} \cdot t_{i-1}) \quad (2.5)$$

となる。ここに $X_i(t)$ は i 点の負荷量 ($g_i(t)$) を示すもので、以下これを状態
とよぶ。そして、 $g_i(t)$ は (2.3)(2.4) 式あるいは (2.3)'(2.4)' 式の和で、連続形離散形は
省略) では、

$$g_i(t) = (1 - U_i''(t)) \cdot W_i(t) / A_i(t) - g_i'' A_i(T) \int_0^t U_i''(t) dt + R_i(t) \cdot g_i'' \int_0^t W_i(t) A_i(t) \int_0^t U_i''(t) dt \quad (2.6)$$



と書け、 λ_{i-1} , t_{i-1} はそれぞれ兩点間の反応速度恒数、リードタイムである。連続形の状態方程式を作成するため (2.5) 式をもとで微分し、整理すると、次式を得る。

$$dX_i(t) / dt = \sum_{m=1}^i (d g_m(t) / dt) \cdot \exp(-\sum_{j=m}^{i-1} \lambda_j \cdot t_j) \quad (2.7)$$

ただし、 $\sum_{j=1}^{i-1} \lambda_j = 0$ とする。ここに、 $A_i(t)$, $U_i''(t)$ は区分的可能、 $W_i(t)$, $U_m''(t)$ は区分的に連続で、たがだか有限個の時刻でしか不連続点をもたないと考えられるので $d g_m(t) / dt$ ($i=1, \dots, N$) が定義でき、(2.6)を微分したものを (2.7) 式に代入すると図-4 の任意の点 i の任意の時刻 t の負荷量変化を示す状態方程式が、つぎのように求まる。すなはち、 $k_i(t)$ を区分的連続な定数とすれば、 t に $t-1$ に対し、

$$\begin{aligned} dX_i(t) / dt &= \sum_{m=1}^i \left\{ \left\{ (-dU_m''(t) / dt) \cdot W_m(t) + (1 - U_m''(t)) \cdot (dW_m(t) / dt) \right\} / A_m(t) - g_i'' A_m(T) \int_0^t U_m''(t) dt \right. \\ &\quad \left. + (1 - U_m''(t)) \cdot W_m(t) \cdot \left\{ (dA_m(t) / dt) - g_i'' A_m(T) U_m''(t) \right\} + k_m(t) \cdot g_i'' \int_0^t U_m''(t) dt \right. \\ &\quad \left. \times \left\{ (dW_m(t) / dt) \int_0^t U_m''(t) dt + W_m(t) U_m''(t) \right\} \right\} \cdot \exp \left\{ -\sum_{j=m}^{i-1} \lambda_j \cdot t_j \right\}, \quad i = 0, 1, \dots, N+1 \end{aligned} \quad (2.8)$$

となる。これと同様に、離散形では、 $t = 0, 1, \dots, T$ に対し。

$$dU_i''(t) = U_i''(t) - U_i''(t-1), \quad dW_i(t) = W_i(t) - W_i(t-1), \quad dA_i(t) = A_i(t) - A_i(t-1) \quad (2.9)$$

とすると、状態方程式は、

$$\begin{aligned} X_i(t) &= X_i(t-1) + \sum_{m=1}^i \left\{ \left\{ -dU_m''(t) \cdot W_m(t) + (1 - U_m''(t)) \cdot dW_m(t) \right\} / A_m(t) - g_i'' A_m(T) \sum_{k=0}^t U_m''(k) \right\} \\ &\quad + (1 - U_m''(t)) \cdot W_m(t) \cdot \left\{ dA_m(t) - g_i'' A_m(T) U_m''(t) \right\} + k_m(t) \cdot g_i'' \int_0^t U_m''(t) dt \\ &\quad \times \left\{ dW_m(t) \cdot \sum_{k=0}^t U_m''(k) + W_m(t) U_m''(t) \right\} \cdot \exp \left\{ -\sum_{j=m}^{i-1} \lambda_j \cdot t_j \right\}, \quad i = 0, 1, \dots, N+1 \end{aligned} \quad (2.8)'$$

となる。

2.3 操作変数と制約条件

上記 (2.6), (2.8)' より、 i 点の状態に影響を与える要素、言いかえると河川汚漏防止に対してもうる
いわれねの手段は、(5)の仮定と (2.1) ~ (2.2) 式のカットから状態方程式を導くがぎりにおいて $dU_i''(t) / dt$
 $(dU_i''(t))$, $dW_i(t) / dt$ ($dW_i(t)$), $dA_i(t) / dt$ ($dA_i(t)$), $R_i(t)$, $U_i''(t)$ となる。すなはち、(1)発生生活水の水質規制を強
化すること。 (2)発生生活水の増加を抑制すること。 (3)自然的カット率を技術的に大きくすること
。 (4)処理プラントの効率をあげること。 (5)下水道整備を強化すること。となる。

(1)(2)に関しては、発生負荷量で考えるがぎりにおいて等価で、(3)(4)(5)も等価である。したがって
、この2つのグループの実行可能性、あるいは何らかの効用を基準にした組合せの順序づけが問題と
なる。(1)については、とくに行政的側面が強調されるし、(2)については、下水道サイドだけでなく
、広く地域計画の観点から考察されるべきである。しかし、従来の外的的(1)(2)の取扱いによる(4)(5)

の検討というフローを残すとしても図-1で示す河海汚濁解析から負荷発生予測(もしくは決定)への点線で示すフィード・バックの挿入が、今後の河川汚濁制御問題の下水道サイドからのアプローチにとって、計画システムの実用上、不可欠であろうと考えられる。換言すれば、計画入力の制御をめざにした、河川汚濁制御問題は開システムであり、しかも一定の境界条件、つまり水質基準を定常状態で満足させることができ、(4)(5)の努力だけで、いつも、可能であるとは思われない。したがって、本研究では(1)(2)の代表として(2)を考慮する。つぎに(3)については、現状では技術的に困難と思われ、楽観的に、たゞだか $dU_i^*(t)/dt (dU_i^*(t)) = 0$ が期待できるにすぎず、(4)については、わが国で東京・南多摩処理場で考案されているが、いまだ、種々の不確定性要素が多く、その高級処理化のタイミング決定が本研究のようなケースでは困難であり、ここでは $q_i(t)$ の大きい地区に与えられた年次に高級処理を施すものと考える。以上のことから、ちつとの手段に対し、本研究では、 $dU_i^*(t)/dt (dU_i^*(t)) = 0$, $dW_i(t)/dt (dW_i(t)) = 0$ とし、 $R_i(t)$ を区分的に連続な定数、 $dA_i(t)/dt (dA_i(t))$ をパラメータとし、 $U_i^*(t)$ を操作変数とする。

操作変数 $U_i^*(t)$ には、一般的につぎのような制約条件が考慮される。すなわち、

$$0 \leq U_i^*(t) \leq \alpha_i(t), 0 \leq \int_0^t U_i^*(k) dk (\sum_{k=0}^t U_i^*(k)) \leq \alpha_i(t), A_i(t) \geq A_i(T), \int_0^t U_i^*(k) dk (A_i(t) \sum_{k=0}^t U_i^*(k)) \geq 0 \quad (2.10)$$

となる。ここに $\alpha_i(t)$ は、第*i*地区の面的下水道整備レベルの七年次の上限で、ここでは、七年次の市街化想定区域の計画発生汚水量を $A_i^*(t) (\leq A_i(t))$ とすれば、 $\alpha_i(t) = A_i^*(t)/A_i(t)$ と考える。したがって、(2.10)式のはじめは、市街化区域の外、下水道整備を行うことを要請するもので、最後の式は、七年次の下水道整備努力が七年次の発生汚水量を越えない、すなわち、下水道整備レベルの追隨性を示している。しかし、最後の式が、

$$q_i(t) \cdot A_i(t) / A_i^*(t) \geq q_i(t) \geq \int_0^t U_i^*(k) dk (\sum_{k=0}^t U_i^*(k)) \geq 0$$

と言つるので、(2.10)式の第二式のみ制約条件として考慮すればよい。

2.4 評価関数

われわれが考案しているのは面整備であり、このための投資は、 $dC_i^*(t)/dt (dC_i^*(t))$ により要請される。これは(2.2)(2.2)式により、

$$dC_i^*(t)/dt = A_i(t) \{ (dW_i(t)/dt) \int_0^t U_i^*(k) dk + W_i(t) \cdot U_i^*(t) \} \quad (2.11)$$

$$dC_i^*(t) = A_i(T) \{ dW_i(t) \cdot \sum_{k=0}^t U_i^*(k) + W_i(t) \cdot U_i^*(t) \} \quad (2.11)'$$

となる。上式のかつて第一項は、水質規制による効果を示しているが、本研究ではこれを考へないことにしていいるので、

$$dC_i^*(t)/dt = dC_i^*(t) = W_i(t) \cdot U_i^*(t) \cdot A_i(t) \quad (2.12)$$

が面整備(カット)投資を要請する。カット投資は、一般に、発生負荷密度に影響をうけ、この密度が、 $\gamma = \int_0^t U_i^*(k) dk (\sum_{k=0}^t U_i^*(k))$ の関数と記述できれば、カット投資単価は、たとえば、

$$C_i(t, \gamma) = \begin{cases} 0 & ; \gamma = 0 \\ C_i^1 & ; 0 < \gamma \leq \gamma_i^*(t) \\ C_i^2 & ; \gamma_i^*(t) \leq \gamma \leq \alpha_i(t) \end{cases}$$

の形でえられる。ここに $\gamma_i^*(t)$ は七年次の市街化区域のうち、とくに負荷密度の大きい地域であることを示すパラメータである。こうして、七年次に第*i*地区に要請されるカット投資は、社会的割引率を R 、金利率を r とすれば、

$$h_i(t) = C_i(t, \gamma) \cdot W_i(t) \cdot U_i^*(t) \cdot A_i(T) \cdot \exp((R-r)t) \quad (2.13)$$

となる。ここで、各地区の市街化区域の負荷密度が、しまま一樣と考えられるならば、 $C_i(t, \eta) = C$ (定数)とすればよい。

以上のようにカット投資が求められたわけであるが、われわれは、(2.13)式の最小化と施カットの最大化をはかる費用効果的な評価を行なうことにする。ただし、発生汚水量を多量に出す地区的調整備を優先する政策を考慮すれば、結局、つきのような評価関数を得る。すなはち、

$$J = \int_0^T \left\{ \sum_{i=1}^N \left\{ ((dC_i^*(t) + (1-k_i(t))dC_i^*(t))/dt)/h_i(t)/A_i(t) \right\} \right\} dt \rightarrow \max. \quad (2.14)$$

$$J = \sum_{k=0}^7 \sum_{i=1}^N \left\{ (dC_i^*(k) + (1-k_i(k))dC_i^*(k))/h_i(k)/A_i(k) \right\} \rightarrow \max. \quad (2.14')$$

となる。

以上のようにして、状態方程式が(2.8)(2.8)'式、評価関数が(2.14)式、制約条件が(2.10)式で与えられ、しかも初期状態が調査可能で、最終状態が水質基準より与えられるから、河川汚漏削減計画のための的施設整備規模決定モデルが(1.1)(1.2)式の形式で得られたことになる。

3. 事例

ここでは、2.で作成したモデルの有効性を示すことを目的として、事例を試みる。なお、デジタル計算機を使用することを前提として、以下ではすべて離散形である。事例対象システムは図-5に示されるような施設計画上独立な9地区と5つのチャック・ポイントから構成される。なお、事例のための追加仮定はつきの7つである。

$$\textcircled{6} \quad \Delta U_i^*(t) = 0 \Rightarrow U_i^*(t) = k_i^*. \quad \textcircled{7} \quad \Delta W_i(t) = 0 \Rightarrow W_i(t) = k_i^*.$$

$$\textcircled{8} \quad d\lambda_i/dt = 0 \Rightarrow \lambda_i = \lambda \quad \textcircled{9} \quad 支川の自浄作用は、支川の含$$

まれる地区的流連率の中で考慮される。

\textcircled{10} 各地区的市街化区域の負荷密度は同一とする。

\textcircled{11} 下水道整備は市街化区域のみ行われ、 $g_i^* = 1$ とする。

\textcircled{12} 水質基準は、その点より上流のすべてに課せられるもの

とする。たとえば、図-5の\textcircled{1}は、第1~5地区の努力がもって満足されるべきと考え、たとえ、第2地区が\textcircled{1}で14.7をえたとしても、\textcircled{1}での\textcircled{1}の影響が許容値0.20を越えていれば、第2地区はなお整備努力をしなければならないとしている(\textcircled{1}=T)。

以上の準備のもとに、システムの定式化、入力データとアルゴリズム、そして演算結果との考察を行なう。なお、アルゴリズムとして、本事例では最大原理を使用する。

3.1 システムの定式化

ここでチャック・ポイントの負荷量を状態と定義し、仮定\textcircled{6}\textcircled{7}\textcircled{8}と(2.8)'式から、

$$X_i = \exp(-\lambda_i t), i=1, \dots, 10, \beta_i = k_i^* (1 - k_i^*), i=1, \dots, 9, \gamma_i = -k_i^* (1 - k_i^* - k_i(t)) \cdot A_i(t), i=1, \dots, 9$$

とすると、状態方程式は、

$$X_i(t) = X_i(t-1) + \beta_i \cdot \Delta A_i(t) + g_i^* \cdot \gamma_i \cdot U_i^*(t) \quad (3.1)$$

$$X_{10}(t) = X_{10}(t-1) + \Delta X_{10}(t) \cdot \alpha_i + \beta_{10} \cdot \Delta A_{10}(t) + g_{10}^* \cdot \gamma_{10} \cdot U_{10}^*(t) \quad (3.2)$$

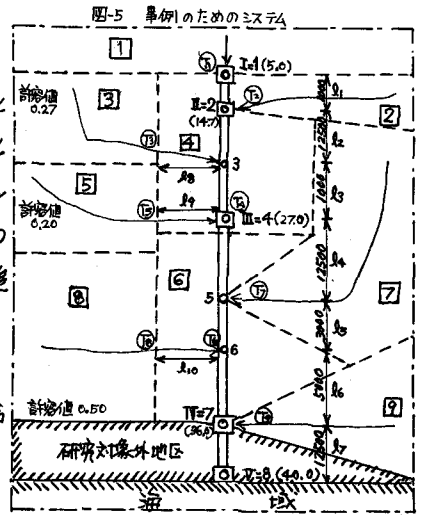


図-5 事例のためのシステム
 ①: 地区番号, ②: チャック・ポイント, ③: 小便基準, ④: 次回理行
 ⑤: 本流, ⑥: 上流, ⑦: 地区境界, ⑧: チャック・ポイントの負荷量, ⑨: 他の地区的負荷量, ⑩: 地域外地区
 (N.B) 許容値とは、たとえどもどのチャック・ポイントの負荷量が何らかの影響を及ぼしていることを示す。たとえどもどの影響を\textcircled{1}-\textcircled{10}まで20%以上していることを示す。
 \textcircled{1}の影響を\textcircled{1}-\textcircled{10}まで20%以上していることを示す。

$$X_{II}(t) = X_{II}(t-1) + \{ \alpha X_{II}(t) \cdot \alpha_2 + \{ \beta_3 \cdot \Delta A_3(t) + g_t^3 \cdot y_t^3 \cdot U_3^0(t) \} \alpha_3 \\ + \beta_4 \cdot \Delta A_4(t) + g_t^4 \cdot y_t^4 \cdot U_4^0(t) + \{ \beta_5 \cdot \Delta A_5(t) + g_t^5 \cdot y_t^5 \cdot U_5^0(t) \} \alpha_5 \} \quad (3.3)$$

$$X_{III}(t) = X_{III}(t-1) + \{ \{ \Delta X_{II}(t) \cdot \alpha_4 + \beta_7 \cdot \Delta A_7(t) + g_t^7 \cdot y_t^7 \cdot U_7^0(t) \} \alpha_5 + \beta_6 \cdot \Delta A_6(t) + g_t^6 \cdot y_t^6 \cdot U_6^0(t) \\ + \beta_8 \cdot \Delta A_8(t) + g_t^8 \cdot y_t^8 \cdot U_8^0(t) \} \alpha_6 + \beta_9 \cdot \Delta A_9(t) + g_t^9 \cdot y_t^9 \cdot U_9^0(t) \} \quad (3.4)$$

$$X_{IV}(t) = X_{IV}(t-1) + \Delta X_{IV}(t) \cdot \alpha_7 \quad (3.5)$$

となる。 つぎに(2.14)式の Γ を γ に換えたものを新たな状態変数と定義すれば、つぎの状態方程式、

$$X_{IV}(t) = X_{IV}(t-1) + \sum_{i=1}^9 \{ (AC_i^0(t) + (1-k_i(t)) \cdot AC_i^0(t)) / h_i(t) / A_i(t) \} \quad (3.6)$$

を得、新たな境界条件 $X_{IV}(0)=0$, $X_{IV}(T) \rightarrow \max$ がつく。

3.2 入力データとアルゴリズム

以上から要請されるデータは、システムの定義より、(1)状態変数の次元 ($S=6$)、(2)計画対象の地区数 ($N=9$)、(3)河川のリードタイム (A_i)、図-5)。自然状態より、(4)反応速度恒数 ($\lambda=8 \times 10^{-6}/m$)、(5)初期状態 (X_i^0 、3.3参照)、(6)自然的干渉ト率 (k_i 、表-1)。社会政策的なデータは、(7)発生夏荷強度 (k_i 、表-1)、(8)計画発生活水量 ($A_i(t)$ 、表-1)、(9)市街化成長割合セス ($\alpha_i(t)$ 、図-7)、(10)計画期間 ($T=20$)、(11)水質基準 (X_i^d 、3.3参照)。さらに、(12)除去率 ($1-k_i(t)=0.90, 0.95$)、(13)社会的削引率 ($R=0.8$)、(14)金利率 ($r=0.7$)、(15)面積備率 ($C_i=5380 \text{万円}/\text{ha}/\text{秒}$ for i) となる。

なお、データ整理の内済化のためのフローチャートを図-6に示す。この図からも明らかなように、 k_i' を求めるプロックが、きわめて重要である。

つぎに、事例のためのアルゴリズムは、最大原理によって以下のように定義されるハミルトニアン関数、

$$H^t = \sum_{i=1}^9 Z_i \cdot X_i(t) + X_{IV}(t), \quad t=1, 2, \dots, T \quad (3.7)$$

を年次毎に、最大化する $U_i^0(t)$ を(2.10)式の制約条件のひとつで求めることに帰結する。なお、(3.7)式の Z_i は補助変数とよばれる定数である。われわれの事例では、この Z_i は、多くのチャーフ・ポイントのウェイトという解釈ができるだろう。

以上のアルゴリズムをフローチャートで示せば、図-8のようになる。この図より明らかのように、まず、われわれは、図-6の手順で求められたデータを与え、つぎにこの値を仮定し、したがる候 H^t ($t=1, 2, \dots, T$) を最大にする操作変数の組合せを求め、状態を計算し、計画目標年次Tに到達する。そして、最終状態 $X_i(T)$ が水質基準 X_i^d (for $i=1, \dots, 9$) 以下であれば、計算を行うことになるが、そうでなければ、 Z_i の値を修正し、同様の計算を繰返す。

以上のアルゴリズムから明らかのように、 $X_i(T) \leq X_i^d$ に決してならない場合、(3.6)式の評価は意味がなく、入力データを動かす必要が生じる。したがって、あらかじめ下水道整備のめで、水質基準を容易に満しうるかどうかのチャーフが必要である。

図-6 入力データ整理のためのフローチャート

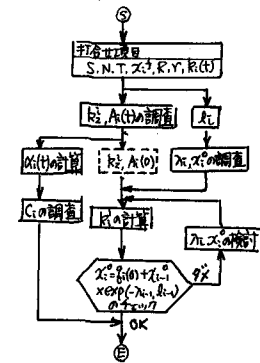


表-1 入力データ

i	k_i	k_i'	$A_i(t)$
1	0.975	36.6	0.020 t + 0.402
2	0.979	28.5	0.022 t + 0.797
3	0.744	29.2	0.007 t + 0.277
4	0.605	23.3	0.021 t + 0.870
5	0.449	33.0	0.025 t + 0.005
6	0.710	26.6	0.023 t + 0.935
7	0.598	10.2	0.012 t + 0.990
8	0.907	10.8	0.108 t + 1.286
9	0.859	23.5	0.140 t + 1.067

図-7 水量基準と水質基準

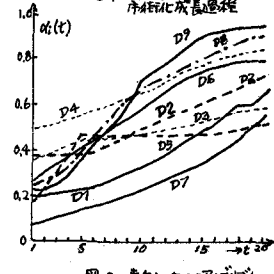
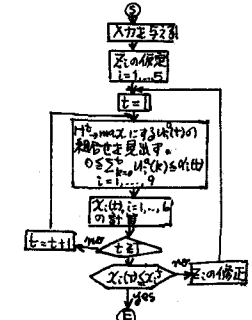


図-8 事例のためのアルゴリズム

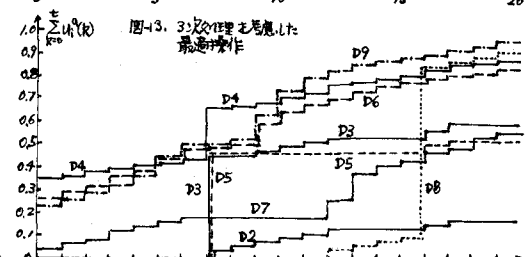
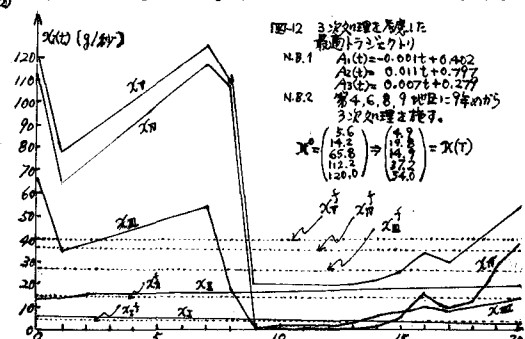
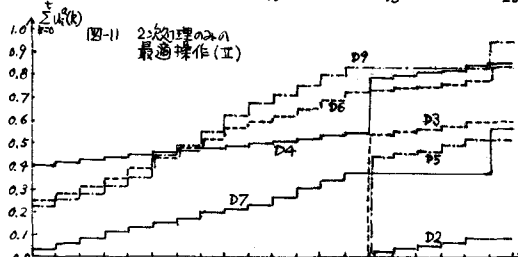
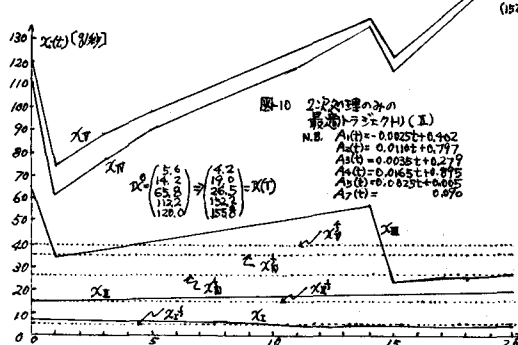
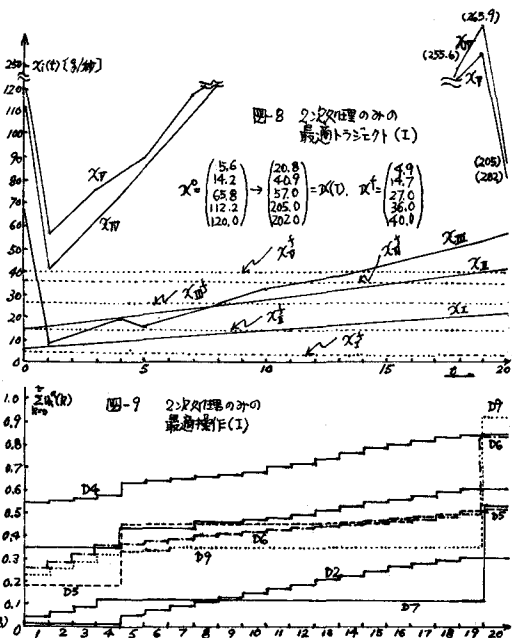


3.3 演算結果とその考察

以上の入力データならびにアルゴリズムの結果、最適トラジエクトリが図-8のように描かれ、そのときの最適操作の累積グラフが図-9のようになる。図-8によれば、 $X_1(t)$, $X_2(t)$ は初年度から、 $X_3(t)$ は9年次から、そして $X_4(t)$ は大幅に水質基準値 D_1^* を上回れる。また、このとき、第1.8地区では下水道整備を一切行わないことが図-9より明らかとなる。これは、処理効率を0.9としたため、面積区の自然的カット率が0.895, 0.907であることから当然であろう。そして、この場合、(ここでは紙面に示さないが)簡単な試算により、丁年次までに市街化区域すべてに下水道を整備しても、決して、 D_1^* 以下にならないことがわかつている。したがつ

て、水質基準が絶対的であれば、先に提案した費用効率的評価に無意味に近い。マネタリーが意味をもつのは、ある程度の投資で、河川が美しくなるという、容量に余裕のある河川に限られるはずである。こうし

て、2.3で述べたように、実行可能と思われる地区の $A_i(t)$ を減じてみた結果を図-10、図-11に示す。この場合でも結局、 $X_4(t)$ が、かなり D_1^* を上回るので、図-12に示すようす $A_i(t)$ (for $i=1,2,3$)を抑え、さらに第4.6.8.9地区の河川汚濁が大きいので、9年次から3次処理(効率0.95)を施せば、図-12、図-13に示される最適トラジエクトリと最適下水道整備レベルが得られ、このとき $X(t)$ は D_1^* にかなり近い。このようにして、とにかくも解は出せるわけであるが、これらの3つの場合に



対し、それそれ複数個の代替案が存在し、この選択に際し、(2.14)式以外の評価が必要となる。 そして、 $A_i(t)$ の算出根拠との関連で $A_i(t)$ の抑制などのように考へるが、さらに3次処理をどの地区に、どのようなタイミングで施すかという問題は、今後の課題となる。 また、本事例では $T=20$ としたが、 $T=\sum_{i=1}^M T_i$ のごくくわけ、それそれの T_i に対応する R_i^0 を与えることにより、アルゴリズムの M 回の繰返しきもって計画の創出ができることになる。 いずれにしても、図-9, 11, 13 のような情報が、図-1 の施設投資への有用な情報を提供しうると期待できよう。

4. おわりに

本研究は基本的にはマクロ的な河川汚濁制御計画のために考案したもので、そのため操作変数 $U_i^0(t)$ の算算上の増分をすべての地区で 0.01 としている。 したがって、 $U_i^0(t) = U_j^0(t) \ (i \neq j)$ であっても取入れ負荷量が異るのは当然である。 また、マクロ的観点に立ったものの、地区という単位をやめ、よりミクロな市町村の単位を考案するためには、仮定②⑨⑩をはずし、3.2 の入力データのより詳細な分析を行えば、(非線形であってもよい) 本質的なモデルの変更を伴わずに考案しうる。 ただし、この場合、操作変数の増大を伴い、結果的には、データ処理・演算の時間が大幅に増大する。

なお、本研究で提案したモデルは、本事例のような直角的な河川のみならず、並行あるいは分岐的な河川とも含む地域を対象としうる。 したがって、本研究は、基本的には地域の環境を構成する一つの要素である河川汚濁に注目し、この制御のための一つの手段として下水道の面整備に注目した地域の環境計画の一環として認識されるべきと考えている。 また、本研究では予算上の制約は何か解れていない。 予算上の制約は、(2.10)式に追加することは可能であったが、本研究が面整備のみに注目していること、さらに、もっと本質的には、予算の制約は、(太閤の環境問題を取扱う場合) 本来システムの最適化に追随すべきであるという立場から無視した。 したがって、図-9, 11, 13 では、実現しえぬものが整備レベルが、とくに ± 1 で出現していることを断つておく。

最後に、本研究の概要は、すでに、参考文献6)で発表されであることを断るとともに、京都大学工学部土木工学科教室の吉川知広先生の御指導に感謝いたします。

参考文献

- 1) 堀、平野、中村、大門、「下水道整備計画の時空間サブシステムとその統合に関する基礎的研究」土木学会年次学術講演会、昭和47年10月
- 2) (株)日本水道コンサルタント、「下水道系統設計計算の合理化に関する研究」昭和46年
- 3) 大門、中村、「施設規模決定のための数学モデルに関する一考察」土木学会年次学術講演会、昭和46年10月
- 4) 住友、山田、知田、大門、中村、「水道施設における余裕度の評価と分析」土木学会 土木地盤学シンポジウム、昭和47年1月
- 5) 堀、平野、中村、大門、「下水道整備計画に関するシステム論的研究Ⅱ -とくに線整備について-」本研究前講演会で発表予定
- 6) 堀、大門、中村、山地、「河川汚濁制御計画のための施設整備規模決定に関する研究」土木学会年次学術講演会、昭和47年10月